

بِنَامِ خُدَاءِ وَجْهِ جَانِ وَخَرَدِ



دانشکده پژوهی سینما

دانشکده مهندسی

گروه آموزشی مهندسی مکانیک

پایان نامه برای دریافت درجه کارشناسی ارشد در رشته مهندسی مکانیک گرایش تبدیل انرژی

عنوان:

**تأثیرات نیروی شناوری در جریان لایه-مرزی هیدرودینامیک مغناطیسی
سیال ویسکوالاستیک دوبعدی**

استاد راهنما:

دکتر محمد مهدی روشنیدی

نگارش:

بهنام رستمی



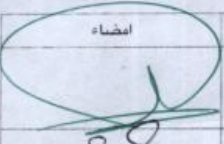
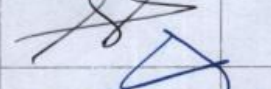
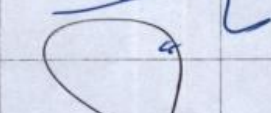
صورت جلسه دفاع از پایان نامه کارشناسی ارشد

پایان نامه کارشناسی ارشد رشته مکانیک کرایش تبدیل انرژی

با عنوان:

تأثیرات نیروی شناوری در جریان لایه-مرزی هیدرودینامیک مغناطیسی سیال ویسکوالاستیک دو بعدی

جلسه	دفاع	از	پایان نامه	آقای	بهنام	رستمی	به	ارزش	۶	واحد	در
روز	سه شنبه	عورخ	۱۳۹۱/۱۱/۲۴	ساعت	۱۱	در محل آموزشی	دانشکده	مهندسی	در حضور	هیأت	
شناوران	برگزار	گردید		پس	از	بررسی های	لازم	پایان نامه	نامبرده		
مورد ارزیابی قرار گرفت						و با درجه	(۷۰)	۱۹/۸۳	با تصریح	به عذر	به حروف

ردیف	نام و نام خانوادگی	سمت	مرتبه علمی	امضاء
۱	دکتر محمد مهدی رشمیدی	استاد راهنمای	دابیشور	
۲	دکتر محسن کودرزی	داور داخلی	استاد پار	
۳	دکتر حبیب الله سایه وند	داور داخلی	استاد پار	
۴	دکتر علی رضا شوشتری	* منقول تضمیلات دانشکده	استاد پار	

* بدون حق رأی

کلیه امتیازهای این پایان‌نامه به دانشگاه بوعلی سینا تعلق دارد. در صورت استفاده از تمام یا بخشی از مطالب این پایان‌نامه در مجلات، کنفرانس‌ها و یا سخنرانی‌ها، باید نام دانشگاه بوعلی سینا یا استاد راهنمای پایان‌نامه و نام دانشجو با ذکر مأخذ و ضمن کسب مجوز کتبی از دفتر تحصیلات تکمیلی دانشگاه ثبت شود. در غیر این صورت مورد پیگرد قانونی قرار خواهد گرفت. درج آدرس‌های ذیل در کلیه مقالات خارجی و داخلی مستخرج از تمام یا بخشی از مطالب این پایان‌نامه در مجلات، کنفرانس‌ها و یا سخنرانی‌ها الزامی می‌باشد.

....., Bu-Ali Sina University, Hamedan, Iran.

مقالات خارجی

.....، گروه، دانشکده، دانشگاه بوعلی سینا، همدان.

مقالات داخلی

اعدیم:

مادر عهربان و پدر عزیزم

میر تکه بی پیا نشان شر مرا زه بنداین دو قدر ارت

با تیکر از استاد کرامن

جناب آقای دکتر رژیدی

کجا هم مر بی بدیل، پنهان راه هم بودند

و

باس پاس فراوان از دورستان عزیزم

ز دید فرید و نیمه روای میر فرزاد فروغی



دانشگاه پژوهشی

دانشگاه پژوهشی

مشخصات رساله/پایان نامه تحصیلی

عنوان:

تأثیرات نیروی شناوری در جریان لایه-مرزی هیدرودینامیک مغناطیسی سیال ویسکوالاستیک دو بعدی

نام نویسنده: بهنام رستمی

نام استاد: محمد مهدی رشیدی

نام استاد مشاور: -

دانشکده: مهندسی

گروه آموزشی: مهندسی مکانیک

قطع تحصیلی: کارشناسی ارشد

گرایش تحصیلی: تبدیل انرژی

رشته تحصیلی: مهندسی مکانیک

تعداد صفحات: ۱۵۹

تاریخ دفاع: ۱۳۹۱/۱۱/۲۴

تاریخ تصویب پروپوزال: ۱۳۹۰/۴/۱۲

چکیده:

جریان لایه-مرزی روی صفحه‌ی پیوسته متحرک نوع مهمی از جریان است که در تعداد زیادی از فرایندهای مهندسی به کار می‌رود. ریخته‌گری آبرودینامیک صفحات پلاستیکی، خنک‌سازی صفحات فلزی در حمام خنک‌کن، رشد کریستالی، متالورژی، لایه-مرزی در امتداد فیلم مایع در فرایند تقطیر و صفحه‌ی پلیمری که به صورت پیوسته تحت ریخته‌گری تحت فشار قرار گرفته است، کاربردهای عملی از صفحه‌ی متحرک هستند. در این پژوهش، تأثیرات نیروی شناوری بر جریان لایه-مرزی سیال ویسکوالاستیک در حضور میدان مغناطیسی عمودی در حالت دو بعدی در شرایط و فرضیات مختلف مورد بررسی قرار گرفته است. تأثیرات تابش، چشمۀ چاه حرارتی، دیوار و محیط متخالخل، اتفافات لزج در جریان انتقال حرارت آزاد روی صفحات گسترش یافته، وجود جریان نقطه سکون در حالت جابجایی ترکیبی، وجود اثرات سورت و دوفور در حالت انتقال جرم، جریان روی گوه، جریان حول استوانه‌ی دایروی قائم، جریان انتقال حرارت ترکیبی روی سیلندر استوانه‌ای افقی با شرایط مرزی سرعت لغزشی و پرش دمایی فرضیاتی است که در این پژوهش مورد بررسی قرار گرفته است. معادلات دیفرانسیل با مشتقان جزیی (معادلات پیوستگی، اندازه حرکت، انرژی و انتقال جرم) در مختصات دکارتی و استوانه‌ای متناسب با نوع مسئله استخراج شده و با استفاده از حل‌های مشابه مناسب به شکل معادلات دیفرانسیل معمولی تبدیل شده‌اند. معادلات تبدیل یافته تحت شرایط مرزی متناسب، با استفاده از روش آنالیز هموتوپی حل شده‌اند. همچنین، مقایسه‌های بین نتایج به دست آمده در این پژوهش و حل سایر مراجع صورت پذیرفته است که نشان‌دهنده‌ی تطابق خوبی بین نتایج می‌باشد. تأثیرات پارامترهای فیزیکی مختلف بر روی منحنی‌های سرعت جریان، توزیع دما و همچنین غلظت مورد بررسی قرار گرفته است. با توجه به این‌که یکی از کاربردهای این نوع مسائل در خنک‌کاری صفحات است باید بیان کرد که سیالات ویسکوالاستیک با اتفافات لزج پایین و قدرت کم میدان مغناطیسی خارجی باید برای افزایش نرخ خنک‌کاری صفحات مورد استفاده قرار بگیرند. ضمن این‌که برای خنک‌کاری صفحات باید پارامتر تابش کاهش و پارامتر مکش افزایش باید. پارامتر دمای دیواره باید بیشتر از مقادیر بحرانی انتخاب شود. در ادامه، آزمایشی تحت عنوان آزمایش PIV برای بررسی جریان سیال در ناحیه‌ی کاملاً توسعه یافته درون کانالی دو بعدی ترتیب داده شده است. این آزمایش برای بررسی منحنی‌ها و کانتورهای سرعت در ناحیه‌ی کاملاً توسعه یافته انجام شده است. از کانالی شیشه‌ای با ابعاد $1 \times 2 \times 0.5$ متر برای بررسی جریان دو بعدی استفاده شده است.

واژه‌های کلیدی: نیروی شناوری، سیال ویسکوالاستیک، جریان هیدرودینامیک مغناطیسی، آزمایش PIV

فهرست مطالب:

۳	فصل اول: مقدمه
۴	۱-۱ لزجت
۴	۱-۱-۱ لزجت وابسته به نرخ برش
۵	۱-۲ سیال ویسکوالاستیک
۵	۱-۲-۱ معرفی سیال ویسکوالاستیک
۷	۱-۲-۲-۱ برخی رفتارهای سیال ویسکوالاستیک
۷	۱-۲-۲-۱ تغییر شکل سطح آزاد یک سیال در حال چرخش
۸	۱-۲-۲-۱ جریان یک سیال ویسکوالاستیک در یک کانال باز شیب‌دار
۸	۱-۲-۲-۱-۳ آماسیدگی جت
۹	۱-۲-۲-۱-۴ بازگشت فنری
۱۰	۱-۲-۲-۱-۵ سیفون بدون لوله
۱۰	۱-۲-۲-۱-۶ جریان خروجی جت
۱۱	۱-۲-۳ منشأ رفتار ویسکوالاستیک در پلیمرها
۱۷	فصل دوم: معادلات حاکم
۱۷	۱-۱ اصول حاکم و دیدگاه‌های رایج در تعیین معادلات اساسی
۱۹	۱-۲ بسط انتگرال حافظه
۱۹	۱-۳-۲ رابطه‌ی معادلات اساسی
۲۰	۱-۴-۲ نحوه‌ی انتخاب معادله‌ی اساسی
۲۱	۱-۵-۲ معادلات حاکم
۲۱	۱-۵-۲-۱ معادلات پیوستگی و حرکت کوشی
۲۵	۱-۵-۲-۲ معادله‌ی انرژی
۲۵	۱-۳-۵-۲ معادله دیفرانسیل پخش همرفتی
۲۶	۱-۶-۲ مقدمه‌ای بر لایه-مرزی و اثرات آن بر معادلات بقایی
۲۶	۱-۶-۲-۱ مطالعه‌ی میدان جریان
۲۶	۱-۶-۲-۲ مقدمه‌ای بر لایه-مرزی
۲۶	۱-۳-۶-۲ مفهوم لایه-مرزی

۲۸	۴-۶-۲ لایه-مرزی حرارتی
۲۹	۵-۶-۲ محدودیت لایه-مرزی
۳۰	۶-۶-۲ چگونگی اعمال تئوری لایه-مرزی به سیال ویسکوالاستیک
۳۳	فصل سوم: مروری بر تحقیقات.....
۳۳	۱-۳ مروری بر مقالات مرتبط
۴۱	فصل چهارم: نیروی شناوری در جریان لایه-مرزی سیال ویسکوالاستیک
۴۲	۱-۴ تأثیر نیروی شناوری و تابش در جریان لایه-مرزی MHD سیال ویسکوالاستیک بر روی صفحه‌ی گسترده در محیط متخلخل در حالات PHF و PST
۴۲	۱-۱-۴ شرح مسئله و معادلات حاکم
۴۶	۲-۱-۴ روش آنالیز هموتوپی
۵۰	۴-۱-۴ نتایج و بحث
۵۹	۲-۴ تأثیر نیروی شناوری در جریان لایه-مرزی MHD سیال ویسکوالاستیک روی صفحه‌ی گسترده در حالات PHF و PST با در نظر گرفتن تولید/جذب حرارت
۵۹	۱-۲-۴ شرح مسئله و معادلات حاکم
۶۰	۲-۲-۴ نتایج و بحث
۶۸	۳-۴ جریان لایه-مرزی MHD سیال ویسکوالاستیک روی صفحه‌ی گسترده‌ی نمایی در حالات PHF و PST
۶۸	۱-۳-۴ شرح مسئله و معادلات حاکم
۶۹	۲-۳-۴ بررسی اثرات اتلاف لرج
۷۰	۳-۳-۴ نتایج و بحث
۷۹	۴-۴ جریان نقطه سکون MHD سیال ویسکوالاستیک در حالت جابجایی ترکیبی روی صفحه‌ی گسترده
۷۹	۱-۴-۴ شرح مسئله و معادلات حاکم
۸۱	۲-۴-۴ نتایج و بحث
۸۹	۵-۴ جریان انتقال حرارت و جرم MHD سیال ویسکوالاستیک روی صفحه‌ی گسترده با در نظر گرفتن اثرات سورت و دوفور
۸۹	۱-۵-۴ شرح مسئله و معادلات حاکم
۹۰	۲-۵-۴ اثرات سورت و دوفور
۹۱	۳-۵-۴ نتایج و بحث
۹۸	۶-۴ جریان سیال ویسکوالاستیک در حالت جابجایی ترکیبی روی گوه

۹۸.....	۱-۶-۴ شرح مسئله و معادلات حاکم
۹۹.....	۲-۶-۴ نتایج و بحث
۱۰۵.....	۷-۴ جریان انتقال حرارت ترکیبی سیال ویسکوالاستیک در امتداد سیلندر دایروی قائم
۱۰۵.....	۱-۷-۴ شرح مسئله و معادلات حاکم
۱۰۷.....	۲-۷-۴ نتایج و بحث
۱۱۰.....	۸-۴ جریان جابجایی ترکیبی سیال ویسکوالاستیک حول سیلندر دایروی افقی
۱۱۰.....	۱-۸-۴ شرح مسئله و معادلات حاکم
۱۱۴.....	۲-۸-۴ نتایج و بحث
۱۲۳.....	فصل پنجم: نتایج حاصل از مطالعات آزمایشگاهی
۱۲۳.....	۵-۱ مقدمه
۱۲۴.....	۲-۵ تئوری آزمایش
۱۲۴.....	۱-۱-۲-۵ اجزاء اصلی آزمایش
۱۲۴.....	۲-۱-۲-۵ ذرات
۱۲۴.....	۳-۱-۲-۵ منبع نور
۱۲۵.....	۴-۱-۲-۵ دوربین
۱۲۶.....	۵-۱-۲-۵ نرم افزار پردازش
۱۲۶.....	۲-۲-۵ مزایا و معایب
۱۲۷.....	۳-۲-۵ روش تشخیص ذرات
۱۳۰.....	۳-۵ شرح انجام آزمایش
۱۳۰.....	۱-۳-۵ جریان توسعه یافته درون کانال قائم
۱۳۳.....	۴-۵ پردازش تصویر و نتایج
۱۳۳.....	۱-۴-۵ انتخاب IW و SW بهینه
۱۳۴.....	۵-۴-۲ جریان با دبی 0.3 lit/min
۱۳۷.....	۳-۴-۵ جریان با دبی 0.4 lit/min
۱۳۹.....	۴-۴-۵ جریان با دبی 0.5 lit/min
۱۴۲.....	۵-۴-۵ جریان با دبی 0.6 lit/min
۱۴۴.....	۵-۴-۶ جریان با دبی 0.7 lit/min
۱۴۶.....	۵-۵ عل خطا

۱۴۹.....	فصل ششم: نتیجه‌گیری و ارائه‌ی پیشنهادات.....
۱۴۹	۱-۶ مقدمه
۱۵۰	۲-۶ تأثیر پارامترهای فیزیکی مختلف بر روی مؤلفه‌های سرعت جريان
۱۵۱	۳-۶ تأثیر پارامترهای فیزیکی مختلف بر منحنی توزيع دما.....
۱۵۱	۴-۶ تأثیر پارامترهای فیزیکی مختلف بر منحنی توزيع غلظت
۱۵۲	۵-۶ پیشنهادات برای ادامه‌ی کار.....
۱۵۵.....	مراجع

فهرست جداول‌ها

- جدول ۱-۴: مقایسه‌ی $f''(0)$ به ازای $\lambda = 0$ و $Mn = 0$ ، $n = 1$ ، $k_l = 0$ ۸۷
- جدول ۲-۴: مقایسه‌ی $f''(0)$ به ازای $\lambda = 0$ و $Mn = 0$ ، $n = 1$ ، $\varepsilon = 0.1$ ۸۷
- جدول ۳-۴: مقایسه‌ی $\theta'(0)$ به ازای $m = 2$ و $n = 1$ ، $Ec = 0$ ، $Mn = 0$ ، $\lambda = 0$ و $\varepsilon = 0$ ۸۸
- جدول ۴-۴: مقایسه‌ی $\theta'(0)$ به ازای $m = 2$ و $n = 1$ ، $\lambda = 0$ ، $\varepsilon = 0$ ۸۸
- جدول ۵-۴: مقادیر ضریب اصطکاک محلی C_f به ازای $k_l = 0.5$ و $Pr = 1$ ، $kn = 0$ ۱۱۸
- جدول ۶-۴: مقادیر ضریب انتقال حرارت محلی Q_w به ازای $k_l = 0.5$ و $Pr = 1$ ، $kn = 0$ ۱۱۹
- جدول ۷-۴: مقایسه‌ی مقادیر نقطه‌ی جدایش به ازای $Pr = 1$ و $kn = 0$ ۱۲۰

فهرست شکل‌ها

۴.....	شکل ۱-۱: جریان برشی تولید شده توسط حرکت دادن صفحه‌ای روی صفحه‌ی دیگر.
۷.....	شکل ۲-۱: خواص رئولوژیکی محلول ۶/۸٪ پلی‌ایزوپوتیلن در سтан.
۸.....	شکل ۱-۳: اعمال چرخش به سیال نیوتینی N -سیال ویسکوالاستیک V .
۹.....	شکل ۱-۴: تورم جت یک سیال ویسکوالاستیک در نزدیکی سر نازل.
۹.....	شکل ۱-۵: دور شدن موقعیت تورم با افزایش عدد رینولدز از a تا c .
۹.....	شکل ۱-۶: بازگشت فنری یک سیال ویسکوالاستیک.
۱۰.....	شکل ۱-۷: سیفون بدون لوله‌ی سیالات ویسکوالاستیک.
۱۱.....	شکل ۱-۸: تصویر جت در فاصله‌ی یک متری خروجی برای سیال نیوتینی N -سیال ویسکوالاستیک P .
۱۲.....	شکل ۱-۹: نمای شماتیک مولکول پلی‌اتیلن: a - خطی (پلی‌اتیلن سنگین)، b - شاخه‌دار (پلی‌اتیلن سبک).
۱۲.....	شکل ۱-۱۰: تغییر آرایش مولکول پلیمری از حالت پایدار تصادفی به حالت جدید در اثر بارگذاری.
۱۳.....	شکل ۱-۱۱: شبکه‌ی مولکولی دارای گره‌خوردگی مربوط به محلول‌های غلیظ و مذاب‌های پلیمری.
۲۱.....	شکل ۱-۱۲: رابطه‌ی بین معادلات مشکله.
۲۷.....	شکل ۲-۱: نمونه‌ی منحنی سرعت و دما در یک لایه-مرزی.
۲۸.....	شکل ۲-۲: نمونه‌ی لایه-مرزی سرعت و غلظت بر صفحه‌ی تخت.
۴۳.....	شکل ۱-۴: نمای کلی مسئله.
۴۹.....	شکل ۲-۴: منحنی \bar{h} حل بیست مرحله‌ای آنالیز هموتوپی به ازای $Nr = 0.1$ ، $Mn = 0.1$ ، $k_2 = 0.1$ ، $k_1 = 0.1$ و $\alpha = 0$ ، $Pr = 1$ ، $\varepsilon = 0.1$ و $\lambda = 0.4$.
۴۹.....	شکل ۳-۴: تأثیر پارامتر اختیاری دوم بر منحنی \bar{h} به ازای $Nr = 0$ ، $Mn = 0.1$ ، $k_2 = 0.1$ ، $k_1 = 0.3$ و $\alpha = -0.5$ در حالت PST.
۵۱.....	شکل ۴-۴: تأثیر پارامتر ویسکوالاستیک به ازای $Nr = 0$ ، $Pr = 1$ ، $\lambda = 0.2$ ، $k_2 = 0.05$ ، $Mn = 0.15$ و $\varepsilon = 0.05$ بر منحنی سرعت در حالت PST.
۵۱.....	شکل ۴-۵: تأثیر پارامتر ویسکوالاستیک به ازای $Nr = 0$ ، $Pr = 1$ ، $\lambda = 0.2$ ، $k_2 = 0.05$ ، $Mn = 0.15$ و $\varepsilon = 0.05$ بر منحنی سرعت در حالت PHF.
۵۲.....	شکل ۴-۶: تأثیر پارامتر ویسکوالاستیک به ازای $Nr = 0$ ، $Pr = 1$ ، $\lambda = 0.2$ ، $k_2 = 0.05$ ، $Mn = 0.15$ و $\varepsilon = 0.05$ بر منحنی دما در حالت PST.
۵۲.....	شکل ۴-۷: تأثیر پارامتر ویسکوالاستیک به ازای $Nr = 0$ ، $Pr = 1$ ، $\lambda = 0.2$ ، $k_2 = 0.05$ ، $Mn = 0.15$ و $\varepsilon = 0.05$ بر منحنی دما در حالت PHF.
۵۳.....	شکل ۴-۸: تأثیر پارامتر محیط متخلخل به ازای $Nr = 0.1$ ، $Pr = 1$ ، $\lambda = 0.2$ ، $k_1 = 0.2$ ، $Mn = 0.1$ و $\varepsilon = 0.1$ بر منحنی سرعت.
۵۳.....	شکل ۴-۹: تأثیر پارامتر محیط متخلخل به ازای $Nr = 0.2$ ، $Pr = 1$ ، $\lambda = 0.2$ ، $k_1 = 0.2$ ، $Mn = 0.1$ و $\varepsilon = 0.1$ بر منحنی دما در حالت PST.
۵۳.....	شکل ۱۰-۴: تأثیر پارامتر محیط متخلخل به ازای $Nr = 0.2$ ، $Pr = 1$ ، $\lambda = 0.2$ ، $k_1 = 0.2$ ، $Mn = 0.1$ و $\varepsilon = 0.25$ بر منحنی دما در حالت PST.

- ۵۴ شکل ۱۱-۴: تأثیر پارامتر تابش به ازای $\alpha = -0.25$ و $\varepsilon = 0.1$ بر منحنی دما در حالت PHF.
- ۵۵ شکل ۱۲-۴: تأثیر پارامتر تابش به ازای $\alpha = -0.3$ و $\varepsilon = 0.15$ و $k_2 = 0.1$ ، $Pr = 1$ ، $\lambda = 0.25$ ، $k_1 = -0.1$ ، $Mn = 0.1$ بر منحنی سرعت.
- ۵۶ شکل ۱۳-۴: تأثیر پارامتر تابش به ازای $\alpha = -0.3$ و $\varepsilon = 0.15$ و $k_2 = 0.1$ ، $Pr = 1$ ، $\lambda = 0.25$ ، $k_1 = -0.1$ ، $Mn = 0.1$ بر منحنی دما در حالت PST.
- ۵۷ شکل ۱۴-۴: تأثیر پارامتر هدایت گرمایی به ازای $Nr = 0.1$ ، $k_2 = 0.2$ ، $Pr = 1$ ، $\lambda = 0.4$ ، $k_1 = 0.1$ ، $Mn = 0$ و $\alpha = 0$ بر منحنی سرعت.
- ۵۸ شکل ۱۵-۴: تأثیر پارامتر هدایت گرمایی به ازای $Nr = 0.1$ ، $k_2 = 0.2$ ، $Pr = 1$ ، $\lambda = 0.4$ ، $k_1 = 0.1$ ، $Mn = 0$ و $\alpha = 0$ بر منحنی دما در حالت PST.
- ۵۹ شکل ۱۶-۴: تأثیر پارامتر هدایت گرمایی به ازای $Nr = 0.1$ ، $k_2 = 0.2$ ، $Pr = 1$ ، $\lambda = 0.4$ ، $k_1 = 0.1$ ، $Mn = 0$ و $\alpha = 0$ بر منحنی دما در حالت PHF.
- ۶۰ شکل ۱۷-۴: تأثیر پارامتر مکش/ادمش و پارامتر ویسکوالاستیک به ازای $r = s = 2.1$ و $\alpha = -0.5$ بر منحنی سرعت.
- ۶۱ شکل ۱۸-۴: تأثیر پارامتر مکش/ادمش و پارامتر ویسکوالاستیک به ازای $r = s = 2.1$ و $\alpha = -0.5$ بر منحنی دما در حالت PST.
- ۶۲ شکل ۱۹-۴: تأثیر پارامتر مکش/ادمش و پارامتر ویسکوالاستیک به ازای $r = s = 2.1$ و $\alpha = -0.5$ بر منحنی دما در حالت PHF.
- ۶۳ شکل ۲۰-۴: تأثیر پارامتر چشمۀ/چاه حرارتی به ازای $R = 0$ ، $Pr = 1$ ، $\lambda = 0.2$ ، $Mn = 0.1$ ، $k_1 = 0.1$ و $s = 2$ بر منحنی سرعت.
- ۶۴ شکل ۲۱-۴: تأثیر پارامتر چشمۀ/چاه حرارتی به ازای $R = 0$ ، $Pr = 1$ ، $\lambda = 0.2$ ، $Mn = 0.1$ ، $k_1 = 0.1$ و $s = 2$ بر منحنی دما در حالت PST.
- ۶۵ شکل ۲۲-۴: تأثیر پارامتر چشمۀ/چاه حرارتی به ازای $R = 0$ ، $Pr = 1$ ، $\lambda = 0.2$ ، $Mn = 0.1$ ، $k_1 = 0.1$ و $s = 2$ بر منحنی دما در حالت PHF.
- ۶۶ شکل ۲۳-۴: تأثیر پارامتر دمای دیواره به ازای $R = 0$ ، $Pr = 1$ ، $\lambda = 0.2$ ، $Mn = 0.5$ ، $k_1 = 0.1$ و $\alpha = -0.5$ بر منحنی سرعت در حالت PST.
- ۶۷ شکل ۲۴-۴: تأثیر پارامتر دمای دیواره به ازای $R = 0$ ، $Pr = 1$ ، $\lambda = 0.2$ ، $Mn = 0.5$ ، $k_1 = 0.1$ و $\alpha = -0.5$ بر منحنی دما در حالت PST.
- ۶۸ شکل ۲۵-۴: تأثیر پارامتر شار گرمای دیواره به ازای $R = 0$ ، $Pr = 1$ ، $\lambda = 0.2$ ، $Mn = 0.5$ ، $k_1 = 0.1$ و $\alpha = -0.5$ بر منحنی سرعت در حالت PHF.
- ۶۹ شکل ۲۶-۴: تأثیر پارامتر شار گرمای دیواره به ازای $R = 0$ ، $Pr = 1$ ، $\lambda = 0.2$ ، $Mn = 0.5$ ، $k_1 = 0.1$ و $\alpha = -0.5$ بر منحنی دما در حالت PHF.
- ۷۰ شکل ۲۷-۴: تأثیر پارامتر میدان معناطیسی به ازای $Pr = 0.71$ و $\lambda = 0.1$ ، $Ec = 0.5$ ، $k_1 = 0.1$ و $\alpha = -0.5$ بر منحنی

- سرعت.
 ۷۱ شکل ۲۸-۴: تأثیر پارامتر میدان مغناطیسی به ازای $k_1 = 0.1$ ، $Ec = 0.5$ ، $\lambda = 0.1$ و $Pr = 0.71$ بر منحنی دما در حالت PST
 ۷۱ شکل ۲۹-۴: تأثیر پارامتر میدان مغناطیسی به ازای $k_1 = 0.1$ ، $Ec = 0.5$ ، $\lambda = 0.1$ و $Pr = 0.71$ بر منحنی دما در حالت PHF
 ۷۲ شکل ۳۰-۴: تأثیر پارامتر شناوری به ازای $Mn = 0.2$ ، $Ec = 1.5$ ، $k_1 = 0.1$ و $Pr = 0.71$ بر منحنی سرعت...
 ۷۳ شکل ۳۱-۴: تأثیر پارامتر شناوری به ازای $Mn = 0.2$ ، $Ec = 1.5$ ، $k_1 = 0.1$ و $Pr = 0.71$ بر منحنی دما در حالت PHF
 ۷۳ شکل ۳۲-۴: تأثیر پارامتر شناوری به ازای $Mn = 0.2$ ، $Ec = 1.5$ ، $k_1 = 0.1$ و $Pr = 0.71$ بر منحنی دما در حالت PHF
 ۷۴ شکل ۳۳-۴: تأثیر عدد اکرت به ازای $Mn = 0.2$ ، $\lambda = 0.2$ ، $k_1 = 0.1$ و $Pr = 0.71$ بر منحنی سرعت PST
 ۷۴ شکل ۳۴-۴: تأثیر عدد اکرت به ازای $Mn = 0.2$ ، $\lambda = 0.2$ ، $k_1 = 0.1$ و $Pr = 0.71$ بر منحنی سرعت PHF
 ۷۵ شکل ۳۵-۴: تأثیر عدد اکرت به ازای $Mn = 0.2$ ، $\lambda = 0.2$ ، $k_1 = 0.1$ و $Pr = 0.71$ بر منحنی دما در حالت PHF
 ۷۵ شکل ۳۶-۴: تأثیر عدد اکرت به ازای $Mn = 0.2$ ، $\lambda = 0.2$ ، $k_1 = 0.1$ و $Pr = 0.71$ بر منحنی دما در حالت PHF
 ۷۶ شکل ۳۷-۴: تأثیر عدد پرانتل به ازای $Ec = 2$ ، $Mn = 0.15$ ، $k_1 = 0.15$ و $Pr = 0.71$ بر منحنی سرعت
 ۷۷ شکل ۳۸-۴: تأثیر عدد پرانتل به ازای $Ec = 2$ ، $Mn = 0.15$ ، $k_1 = 0.15$ و $Pr = 0.71$ بر منحنی دما در حالت PHF
 ۷۷ شکل ۳۹-۴: تأثیر عدد پرانتل به ازای $Ec = 2$ ، $Mn = 0.15$ ، $k_1 = 0.15$ و $Pr = 0.71$ بر منحنی دما در حالت PHF
 ۷۸ شکل ۴۰-۴: نمای مسئله در جریان نقطه سکون.
 ۷۹ شکل ۴۱-۴: تأثیر پارامتر نسبت سرعت به ازای $m = 1$ ، $n = 0.5$ ، $Mn = 1.5$ ، $Pr = 0.71$ ، $Ec = 1$ ، $k_1 = 1$ و $\lambda = \pm 0.5$
 ۸۲ شکل ۴۲-۴: تأثیر پارامتر نسبت سرعت به ازای $m = 1$ ، $n = 0.5$ ، $Mn = 1.5$ ، $Pr = 0.71$ ، $Ec = 1$ ، $k_1 = 1$ و $\lambda = \pm 0.5$
 ۸۳ شکل ۴۳-۴: تأثیر پارامتر شناوری یا جابجایی ترکیبی به ازای $m = 1$ ، $n = 0.5$ ، $Pr = 1$ ، $Ec = 1.5$ ، $\varepsilon = 0.5$ ، $k_1 = 0.5$ و $Mn = 2$ بر منحنی سرعت
 ۸۴ شکل ۴۴-۴: تأثیر پارامتر شناوری یا جابجایی ترکیبی به ازای $m = 1$ ، $n = 0.5$ ، $Pr = 1$ ، $Ec = 1.5$ ، $\varepsilon = 0.5$ ، $k_1 = 0.5$ و $Mn = 2$ بر منحنی دما
 ۸۴ شکل ۴۵-۴: تأثیر عدد پرانتل به ازای $m = 1$ ، $n = 0.5$ ، $Mn = 1$ ، $Ec = 2$ ، $\varepsilon = 1$ ، $k_1 = 1$ و $\lambda = \pm 0.5$ بر منحنی سرعت
 ۸۵ شکل ۴۶-۴: تأثیر عدد پرانتل به ازای $m = 1$ ، $n = 0.5$ ، $Mn = 1$ ، $Ec = 2$ ، $\varepsilon = 1$ ، $k_1 = 1$ و $\lambda = \pm 0.5$ بر منحنی دما.

- شکل ۴۷-۴: تأثیر عدد اکرت به ازای $\lambda = \pm 0.3$ و $m = 1, n = 0.5, Mn = 1, Pr = 0.71, \varepsilon = 0.5, k_1 = 1$ بر منحنی سرعت. ۸۶
- شکل ۴۸-۴: تأثیر عدد اکرت به ازای $\lambda = \pm 0.3$ و $m = 1, n = 0.5, Mn = 1, Pr = 0.71, \varepsilon = 0.5, k_1 = 1$ بر منحنی دما. ۸۶
- شکل ۴۹-۴: تأثیر پارامتر ویسکوالاستیک به ازای $Le = 1, Sr = 0.25, Du = 0.2, Pr = 0.71, Mn = 0.5$ و $\lambda = 0.6$ بر منحنی غلظت. ۹۲
- شکل ۵۰-۴: تأثیر پارامتر میدان مغناطیسی به ازای $Le = 1.5, Sr = 0.5, Du = 0.1, Pr = 0.71, k_1 = 1$ و $\lambda = 0.4$ بر منحنی غلظت. ۹۲
- شکل ۵۱-۴: تأثیر پارامتر شناوری به ازای $Mn = 0.5, Le = 2, Sr = 0.5, Du = 0.1, Pr = 0.71, k_1 = 1$ و $\lambda = 0.5$ بر منحنی غلظت. ۹۳
- شکل ۵۲-۴: تأثیر عدد پرانتل به ازای $Mn = 0.5, Le = 2, Sr = 0.25, Du = 0.2, \lambda = 0.6, k_1 = 0.5$ و $\lambda = 0.6$ بر منحنی غلظت. ۹۳
- شکل ۵۳-۴: تأثیر اعداد سورت و دوفور به ازای $Le = 1, \lambda = 0.6, Pr = 0.71, k_1 = 1$ و $Mn = 0.5$ بر منحنی سرعت. ۹۴
- شکل ۵۴-۴: تأثیر اعداد سورت و دوفور به ازای $Le = 1, \lambda = 0.6, Pr = 0.71, k_1 = 1$ و $Mn = 0.5$ بر منحنی دما. ۹۵
- شکل ۵۵-۴: تأثیر اعداد سورت و دوفور به ازای $Le = 1, \lambda = 0.6, Pr = 0.71, k_1 = 1$ و $Mn = 0.5$ بر منحنی غلظت. ۹۵
- شکل ۵۶-۴: تأثیر عدد لوییس به ازای $Mn = 0.2, Sr = 0.5, Du = 0.1, \lambda = 0.4, Pr = 0.71, k_1 = 1.5$ و $k_1 = 0.2$ بر منحنی سرعت. ۹۶
- شکل ۵۷-۴: تأثیر عدد لوییس به ازای $Mn = 0.2, Sr = 0.5, Du = 0.1, \lambda = 0.4, Pr = 0.71, k_1 = 1.5$ و $k_1 = 0.2$ بر منحنی دما. ۹۷
- شکل ۵۸-۴: تأثیر عدد لوییس به ازای $Mn = 0.2, Sr = 0.5, Du = 0.1, \lambda = 0.4, Pr = 0.71, k_1 = 1.5$ و $k_1 = 0.2$ بر منحنی غلظت. ۹۷
- شکل ۵۹-۴: نمای کلی گوهی مورد استفاده. ۹۸
- شکل ۶۰-۴: تأثیر پارامتر ویسکوالاستیک به ازای $Pr = 1, m = 0.5$ و $\lambda = 0.4$ بر منحنی سرعت. ۱۰۰
- شکل ۶۱-۴: تأثیر پارامتر ویسکوالاستیک به ازای $Pr = 1, m = 0.5$ و $\lambda = 0.4$ بر منحنی دما. ۱۰۰
- شکل ۶۲-۴: تأثیر پارامتر شناوری به ازای $Pr = 1, m = 0.5$ و $k_1 = 0.6$ بر منحنی سرعت. ۱۰۱
- شکل ۶۳-۴: تأثیر پارامتر شناوری به ازای $Pr = 1, m = 0.5$ و $k_1 = 0.6$ بر منحنی دما. ۱۰۱
- شکل ۶۴-۴: تأثیر عدد پرانتل به ازای $m = 0.5, k_1 = 0.8$ و $\lambda = 0.5$ بر منحنی سرعت. ۱۰۲
- شکل ۶۵-۴: تأثیر عدد پرانتل به ازای $m = 0.5, k_1 = 0.8$ و $\lambda = 0.5$ بر منحنی دما. ۱۰۲
- شکل ۶۶-۴: تأثیر پارامتر زاویه‌ی گوه به ازای $Pr = 1, k_1 = 1$ و $\lambda = 0.2$ بر منحنی سرعت. ۱۰۳
- شکل ۶۷-۴: تأثیر پارامتر زاویه‌ی گوه به ازای $Pr = 1, k_1 = 1$ و $\lambda = 0.2$ بر منحنی دما. ۱۰۴
- شکل ۶۸-۴: نمای مسئله‌ی بررسی شده. ۱۰۵

شكل ۴-۶۹: تأثیر پارامتر ویسکوالاستیک به ازای $\lambda = 0.75$ و $Pr = 1$ ، $\gamma = 0.1$ ، $b = 1$ بر منحنی سرعت... ۱۰۷
شكل ۴-۷۰: تأثیر پارامتر ویسکوالاستیک به ازای $\lambda = 0.75$ و $Pr = 1$ ، $\gamma = 0.1$ ، $b = 1$ بر منحنی دما..... ۱۰۸
شكل ۴-۷۱: تأثیر پارامتر انحنا به ازای $\lambda = 0.75$ و $Pr = 1$ ، $k_1 = 0.1$ ، $b = 1$ بر منحنی سرعت... ۱۰۸
شكل ۴-۷۲: تأثیر پارامتر انحنا به ازای $\lambda = 0.75$ و $Pr = 1$ ، $k_1 = 0.1$ ، $b = 1$ بر منحنی دما..... ۱۰۹
شكل ۴-۷۳: نمای کلی مسئله‌ی مورد نظر..... ۱۱۰
شكل ۴-۷۴: تأثیر پارامتر ویسکوالاستیک به ازای $x = 0$ و $Re = 1000$ ، $Pr = 1$ ، $kn = 0.02$ بر منحنی سرعت. ۱۱۵
شكل ۴-۷۵: تأثیر پارامتر ویسکوالاستیک به ازای $x = 0$ و $Re = 1000$ ، $Pr = 1$ ، $kn = 0.02$ بر منحنی دما. ۱۱۶
شكل ۴-۷۶: تأثیر پارامتر جابجایی اجباری به ازای $x = 0$ و $Re = 500$ ، $Pr = 1$ ، $kn = 0.08$ ، $k_1 = 0.5$ بر منحنی سرعت..... ۱۱۶
شكل ۴-۷۷: تأثیر پارامتر جابجایی اجباری به ازای $x = 0$ و $Re = 500$ ، $Pr = 1$ ، $kn = 0.08$ ، $k_1 = 0.5$ بر منحنی دما..... ۱۱۷
شكل ۴-۷۸: تأثیر زاویه‌ی سیلندر به ازای $x = 0$ و $Re = 1$ ، $kn = 0$ ، $k_1 = 0.5$ بر منحنی سرعت..... ۱۱۷
شكل ۴-۷۹: تأثیر پارامتر جابجایی اجباری به ازای $x = \pi/12$ و $Re = 1$ ، $kn = 0$ ، $k_1 = 0.5$ بر منحنی سرعت. ۱۱۸
شكل ۵-۱: لیزر مورد استفاده در آزمایش..... ۱۲۵
شكل ۵-۲: دوربین مورد استفاده در آزمایش..... ۱۲۶
شكل ۵-۳: موقعیت پیکسل‌ها حول پیکسل حداکثر..... ۱۲۹
شكل ۵-۴: چینش آزمایش..... ۱۳۰
شكل ۵-۵: کانال مورد نظر با ابعاد $0.5 \times 0.5 \times 0.05$ متر..... ۱۳۱
شكل ۵-۶: جریان سنج مورد استفاده در آزمایش..... ۱۳۱
شكل ۵-۷: پمپ آکواریوم..... ۱۳۲
شكل ۵-۸: نمونه‌ای از شیر مورد استفاده..... ۱۳۲
شكل ۵-۹: تصویر شماتیک آزمایش..... ۱۳۳
شكل ۵-۱۰: تصاویر آزمایش در حالت دبی $0/3$ لیتر بر دقیقه..... ۱۳۵
شكل ۵-۱۱: کانتور سرعت قائم در دبی $0/3$ لیتر بر دقیقه..... ۱۳۶
شكل ۵-۱۲: منحنی سرعت قائم، منحنی برازش شده و نتایج حل تحلیلی در دبی $0/3$ لیتر بر دقیقه..... ۱۳۶
شكل ۵-۱۳: تصاویر آزمایش در حالت دبی $0/4$ لیتر بر دقیقه..... ۱۳۸
شكل ۵-۱۴: کانتور سرعت قائم در دبی $0/4$ لیتر بر دقیقه..... ۱۳۸
شكل ۵-۱۵: منحنی سرعت قائم، منحنی برازش شده و نتایج حل تحلیلی در دبی $0/4$ لیتر بر دقیقه..... ۱۳۹
شكل ۵-۱۶: تصاویر آزمایش در حالت دبی $0/5$ لیتر بر دقیقه..... ۱۴۰
شكل ۵-۱۷: کانتور سرعت قائم در دبی $0/5$ لیتر بر دقیقه..... ۱۴۱
شكل ۵-۱۸: منحنی سرعت قائم، منحنی برازش شده و نتایج حل تحلیلی در دبی $0/5$ لیتر بر دقیقه..... ۱۴۱
شكل ۵-۱۹: تصاویر آزمایش در حالت دبی $0/6$ لیتر بر دقیقه..... ۱۴۲

- شکل ۲۰-۵: کانتور سرعت قائم در دبی ۰/۶ لیتر بر دقیقه..... ۱۴۳
- شکل ۲۱-۵: منحنی سرعت قائم، منحنی برازش شده و نتایج حل تحلیلی در دبی ۰/۶ لیتر بر دقیقه. ۱۴۳
- شکل ۲۲-۵: تصاویر آزمایش در حالت دبی ۰/۷ لیتر بر دقیقه. ۱۴۴
- شکل ۲۳-۵: کانتور سرعت قائم در دبی ۰/۷ لیتر بر دقیقه. ۱۴۵
- شکل ۲۴-۵: منحنی سرعت قائم، منحنی برازش شده و نتایج حل تحلیلی در دبی ۰/۷ لیتر بر دقیقه. ۱۴۵

فهرست علائم اختصاری:

ثابت	A
ثابت	a
قسمتی از ماتریس تصویر در تصویر اول	A_i
نرخ گسترش صفحه	b
میدان مغناطیسی	$B(x)$
میدان مغناطیسی یکنواخت خارجی	B_0
قسمتی از ماتریس تصویر در تصویر دوم	B_i
غلظت	C
ثابت	c
ضریب اصطکاک سطحی	C_f
گرمای ویژه در فشار ثابت	c_p
حساسیت غلظت	c_s
ثابت	D
ضریب پخش جرمی	D_e
نیروی برشی	F
پارامتر بی بعد سرعت	f'
شتاب جاذبه	g
دمای بی بعد در حالت PHF	$g(\eta)$
ضریب انتقال حرارت جابجایی	h
رسانایی حرارتی	k
ضریب جذب متوسط	k^*
نسبت پخش گرمایی	k_T
طول صفحه	l
اثر زاویه‌ی گوه	m
اختلاف تنش‌های قائم	N
ثابت	n
فشار	p
پیکسل دارای ضریب همبستگی حداقل	P
نرخ حجمی تولید گرما	Q
بردار شار گرما	q''
تولید گرمای داخلی	q'''
پخش گرمای تابشی	q_r
شار گرمای دیواره	Q_w
جهت شعاعی در دستگاه مختصات استوانه‌ای	r

شعاع سیلندر دایروی	r_1
ضریب همبستگی	R
زمان	t
دمای سیال	T
دمای میانگین سیال	T_m
دمای سیال روی دیواره	T_s
سرعت صفحه‌ی بالایی در جریان کوئت	U
نرخ گسترش صفحه‌ی گسترده‌ی نمایی	U_0
مؤلفه‌ی سرعت در راستای صفحه	u
سرعت جریان آزاد	u_e
سرعت لغزشی	u_s
سرعت گسترش صفحه	u_w
مؤلفه‌ی سرعت در راستای قائم بر صفحه	v
سرعت مکش/دمش	v_w
راستای موازی صفحه در دستگاه مختصات دکارتی	x
نقطه‌ی جداش	x_s
جهت عمود بر صفحه در دستگاه مختصات دکارتی	y
اپراتور خطی	\mathcal{L}
پارامتر غیر صفر کمکی	\hbar
اپراتور غیر خطی	\mathcal{N}
تابع کمکی	\mathcal{H}

پارامترهای بی بعد

عدد دوفور	Du
عدد اکرت	Ec
عدد گراشاف	Gr
عدد نادسن	Kn
پارامتر ویسکوالاستیک	k_1
پارامتر تخلخل محیط	k_2
عدد لوییس	Le
پارامتر میدان مغناطیسی	Mn
پارامتر شناوری غلظت	N
پارامتر تابش گرمایی	Nr
عدد ناسلت	Nu
عدد پرانتل	Pr
پارامتر دمای دیواره	r